

СТРУКТУРНО-ФУНКЦИОНАЛЬНЫЙ АНАЛИЗ
БИОПОЛИМЕРОВ И ИХ КОМПЛЕКСОВ

УДК 577.21;577.29

С-КОНЦЕВОЙ ДОМЕН ФАКТОРА ТРАНСКРИПЦИИ TnrA ИЗ *Bacillus subtilis*
КОНТРОЛИРУЕТ АКТИВНОСТЬ ДНК-СВЯЗЫВАЮЩЕГО ДОМЕНА,
НО НЕ УЧАСТВУЕТ В ДИМЕРИЗАЦИИ БЕЛКА

© 2013 г. К. П. Федорова^{1*}, И. С. Шарафутдинов¹, Е. Ю. Турбина², М. И. Богачев³,
О. Н. Ильинская¹, А. Р. Каюмов^{1*}

¹Казанский (Приволжский) федеральный университет, Казань, 420008

²Воронежский государственный университет, Воронеж, 394006

³Санкт-Петербургский государственный электротехнический университет ЛЭТИ, Санкт-Петербург, 197376

Поступила в редакцию 28.08.2012 г.

Принята к печати 02.10.2012 г.

Фактор транскрипции TnrA, представитель семейства MerR регуляторов транскрипции, у бактерий *Bacillus subtilis* контролирует гены белков азотного метаболизма в условиях недостатка азота в среде. Как и все ДНК-связывающие белки, он находится в клетках в димерной форме, однако сайт димеризации не установлен. Множественное выравнивание белков гомологов TnrA разных видов бацилл позволило выявить потенциальные сайты димеризации. Получены мутантные белки TnrA с делециями С-концевого домена и показано, что, в отличие от других белков семейства MerR, С-конец белка не отвечает за димеризацию белка. Методом поверхностного плазмонного резонанса установлено, что удаление аминокислотных остатков с С-конца не инактивирует ДНК-связывающую активность этого фактора транскрипции, а наоборот приводит к увеличению аффинности к ДНК. Это позволяет сделать вывод, что С-концевой домен в полноценном белке участвует в контроле его ДНК-связывающей активности.

Ключевые слова: *Bacillus subtilis*, фактор транскрипции TnrA, димеризация.

THE C-TERMINUS OF TRANSCRIPTION FACTOR TNRA FROM *BACILLUS SUBTILIS* CONTROLS DNA-BINDING DOMAIN ACTIVITY BUT IS NOT REQUIRED FOR DIMERIZATION, by K. P. Fedorova^{1*}, I. S. Scharafutdinov¹, E. Y. Turbina², M. I. Bogachev³, O. N. Ilinskaja¹, A. R. Kayumov¹

(¹Kazan (Volga region) Federal University, Kazan, 420008 Russia, *e-mail: kpfedorova@gmail.com; kairatr@yandex.ru; ²Voronezh State University, Voronezh, 394006 Russia; ³Saint-Petersburg Electrotechnical University “LETI”, Saint-Petersburg, 197376 Russia). The transcription factor TnrA, which belongs to the MerR transcription regulators, in *Bacillus subtilis* cells controls genes of nitrogen metabolism under conditions of nitrogen limitation. As all the DNA-binding proteins, it is present as a dimer in cells, but the dimerization site is still unknown. The multiple alignment of TnrA homologs from the other *Bacilli* allowed to identify the putative dimerization sites. Using the C-terminal truncated TnrA proteins it is established, that, in contrast to other MerR-proteins, the TnrA C-terminus does not participate in dimerization. The surface plasmon resonance has revealed that C-terminus truncations of TnrA do not inactivate its DNA-binding activity. By contrary, it increased an affinity to DNA, confirming that C-terminus controls the DNA-binding activity in a full-length TnrA.

Keywords: *Bacillus subtilis*, transcription factor TnrA, dimerization.

DOI: 10.7868/S0026898413020055

В клетках бактерий активность множества генов контролируется ДНК-связывающими белками – факторами транскрипции, которые, взаимодействуя с промоторной областью гена, активируют или, наоборот, подавляют его транскрипцию в ответ на изменение условий окружающей среды. В клетках *B. subtilis* фактор транскрипции TnrA кон-

тролирует гены белков азотного метаболизма в условиях недостатка азота в среде [1]. Находясь в димерной форме, он взаимодействует с палиндромной последовательностью в промоторах генов-мишеней. Этот белок относится к семейству MerR регуляторов транскрипции, большинство которых имеет сходную третичную структуру и

Принятые сокращения: ППР – метод поверхностного плазмонного резонанса.

* Эл. почта: kpfedorova@gmail.com; kairatr@yandex.ru

контролирует клеточный метаболизм в ответ на изменение в среде концентрации различных металлов [2]. Белки семейства MerR находятся в клетках в димерной форме и имеют два функциональных домена [2]. При этом N-концевой домен взаимодействует с ДНК, а C-концевой воспринимает регуляторный сигнал. Несмотря на высокую гомологию ДНК-связывающего N-концевого домена, C-концевой домен белка TnrA значительно короче, чем у белков семейства MerR [3]. Тем не менее, C-конец белка TnrA взаимодействует с белком GlnK и глутаминсинтетазой, что подтверждает его участие в передаче регуляторного сигнала [3, 4].

В настоящее время открыт вопрос о сайте димеризации белка TnrA [3, 4]. Ранние исследования показали, что удаление до 27 аминокислот с C-конца белка не нарушает димеризацию белка, хоть и приводит к удалению α -спирали, имеющей высокую гомологию с областью димеризации ряда белков семейства MerR [1, 3, 5]. В данной работе мы приводим модель возможной димеризации фактора транскрипции TnrA, которая отличается от димеризации других белков семейства MerR, а также показываем, что C-концевой домен в полноценном белке участвует в контроле его ДНК-связывающей активности и необходим для стабилизации комплекса TnrA-ДНК.

ЭКСПЕРИМЕНТАЛЬНАЯ ЧАСТЬ

Штаммы и плазиды. Клонирование гена *tnrA* проводили в штамме *E. coli* XLI-Blue (*recA1*, *endA1*, *gyrA96*, *thi-1*, *hsdR17*, *supE44*, *relA1*, *lac*), ("Stratagene", США). Штамм *E. coli* BL21 использовали для гиперэкспрессии целевых белков. Вектор pET15b ("Novagen") реплицируется в клетках *E. coli*, несет сильный промотор фага T7 под контролем *lac*-оператора и обеспечивает гиперэкспрессию рекомбинантных белков с образованием гексагистидинового участка на N-конце белка в клетках *E. coli* BL21. Плазиды pET15b-TnrA6, pET15b-TnrA20 и pET15b-TnrA35 получены ранее [4], получение плазиды pET15b-TnrA43 описано ниже. Плазида pET15b-TnrA несет полноразмерный ген фактора транскрипции TnrA *B. subtilis* 168 [6]. Плазиды pET15b, pET15b-TnrA и штамм *E. coli* BL21 предоставлены профессором Карлом Форшхаммером (Университет Тюбингена, Германия).

Культивирование бактерий. Культивирование штаммов *E. coli* проводили на среде LB. При выращивании рекомбинантных штаммов *E. coli* в среду вносили ампициллин до конечной концентрации в среде 100 мкг/мл.

Конструирование плазиды pET15b-TnrA43. Мутантный ген *tnrA43* амплифицировали с хромосомной ДНК *B. subtilis* 168 с использованием синтетических олигонуклеотидов TnrAN (5'-GCT CGA GGA TCC GAT GAC CAC AGA AGA TCA

TTC TT-3') и TnrA43 (5'-TGC CGT GGA TCC GCC TTA TTC ACG CTT ATT G-3'). Сайт рестрикции BamHI подчеркнут. Продукт амплификации рестриционировали по сайтам BamHI и лигировали с вектором pET15b, предварительно линеализированным по тому же сайту. Отсутствие ошибок в клонированной последовательности подтверждено секвенированием.

Гиперпродукция и очистка белков TnrA. Очистку нативного и рекомбинантных белков TnrA с гексагистидиновой последовательностью на N-конце белка проводили на Ni-NTA сепарозе, как описано в работах [4, 6].

Анализ олигомеризации белков TnrA методом поперечных сшивок. Способность рекомбинантных белков TnrA к димеризации определяли методом поперечных сшивок в присутствии глутарового альдегида в качестве сивающего агента [7]. Продукты реакции сшивки анализировали в 15%-ном SDS-ПААГ [8] с последующим иммуноблотингом с использованием антител против белка TnrA [6].

Анализ ДНК-связывающей активности TnrA. Изучение ДНК-связывающей активности белка TnrA проводили методом поверхностного плазмонного резонанса на приборе BIACore X (Biacore AB, Швеция). В качестве специфической последовательности ДНК использовали олигонуклеотиды с модификацией в виде биотина на 5'-конце, содержащие TnrA-узнаваемый участок промотора гена *nrgA* (5'-биотин-AAAACCATGTCAGGAAA-TCTTACATGAAAA-3') и комплементарные олигонуклеотиды без модификации (5'-TTTTC ATGTA AGATT TCCTG ACATG G TTTT-3'). Контролем служили олигонуклеотидные фрагменты гена устойчивости к ампициллину на плазиде pET15b, в которых отсутствовала TnrA-узнаваемая последовательность (5'-биотин-CAGTG AGGCA CCTAT CTCAG CGATC TGTCT-3', 5'-AGACA GATCG CTGAG ATAGG TGCTT CACTG-3'). Гибридизацию олигонуклеотидов проводили как описано в работе [9]. Далее иммобилизовали готовые ДНК-дуплексы на сенсорной поверхности SA чипа (BIACore AB). Иммобилизацию ДНК-дуплексов и анализ ДНК-связывающей способности белков TnrA проводили при 25°C в буфере HBS (10 мМ HEPES, 300 мМ NaCl, EDTA 0.2 мМ, 3 мМ MgCl₂, 0.005% Nonidet P-40, pH 7.4). Канал 1 (FC1) чипа использовали в качестве контрольного и наносили на него неспецифические ДНК-дуплексы, канал 2 (FC2) использовали в качестве опытного и иммобилизовали на его поверхности специфические ДНК-дуплексы. Наносили ДНК-дуплексы со скоростью 10 мкл/мин на каждый канал SA чипа до количества ДНК на поверхности, равного 1800 резонансных единиц (PE). Специфическое взаимодействие анализируемых белков с молекулами ДНК определяли

a

B. subtilis
B. vallismortis
B. atrophaeus
B. amyloliquefaciens
B. licheniformis
B. aerophilus
B. pumilus
B. halodurans
B. clausii
B. selenitireducens
B. coagulans
B. megaterium

MTTEDHSYDKKKVISIGIVSELTGLSVRQIRYYEERKLIYPQRSSRGTRKYSFADVERLM 60
 MTTEDHSYDKKKVISIGIVSELTGLSVRQIRYYEERKLIYPQRSSRGTRKYSFADVERLM 60
 MTTEDRSYDKKKVISIGIVSELTGLSVRQIRYYEERKLIYPQRSSRGTRKYSFGDVERLM 60
 MTTDEQSYDKKKVISIGIVSELTGLSVRQIRYYEERKLIYPQRSSRGTRKYSFADVERLM 60
 MTVEDLSYDKKKVISIGIVSELTGLSVRQIRYYEERKLIYPQRSTRGTRKYSFADVERLM 60
 MTQEDVSYDKKKVISIGIVSELTGLSVRQIRYYEERKLIYPQRSTRGTRKYSFSDVERLM 60
 MTQEDASYDKKKVISIGIVSELTGLSVRQIRYYEERKLIYPQRSTRGTRKYSFSDVERLM 60
 -----MSYDKKKVITIGMVSELTGLTERKIRYYEERKLVFPERTPGGTRKYSFLDVERLI 55
 -----MSYDKKKVITIGVVSELTGLSERKIRYYEERKLFLPERSKGGRKYSFLDVERLV 55
 ---MSLDYDKKKVIGIGIMSELTGLSERQIRYYEERKLVFPERSKGGRKYSFADVERLV 57
 -MATNESYLEKKVISIGTVCELTGLSERRIRYYEERKLIFPERTNRCGIRKYSFTDVERLM 59
 MSTNEASRYDKKVMSIGIVKELTGLSERQIRYYEKRSLLFPDRTNTGIRKYSFSDVERLM 60
 . * : *** : ** : * * * * : * * * * : * : * * : * * * * : * * * * * * :

b

B. subtilis
B. vallismortis
B. atrophaeus
B. amyloliquefaciens
B. licheniformis
B. aerophilus
B. pumilus
B. halodurans
B. clausii
B. selenitireducens
B. coagulans
B. megaterium

DIANKREDGVQTAEILKDMRKKEQLKNDPQVRKKMLEGQLNAHFRYKNR 110
 DIANKREDGVQTAEILKDMRKKEQMLKNDPQVRKKMLEGQLNAHFRYKNR 110
 DIANKREDGVQTAEILKDMRKKEQALKNDPQVRKKMLEGQLNAHFKYRN 110
 DIANKREDGVQTAEILKDMRKKEQALKNDPQLRKMMLEGQLNAHFKYKNR 110
 EIANKREDGVQTAEILKDMRKKEQRLKNDQQLRKMMLEGQLNAHFKYKNR 110
 DIANKREDGVQTAEILKDMKKKEQALKSG-QYKKKMLEGQINAHFRYKNR 109
 DIANKREDGVQTAEILKDMKKKEQALKSG-QYKKKMLEGQINAHFRYKNR 109
 DIANKMEDGMQTFEI----RKMEQKQLRKKEVRDRMLRGQLNAAFNLRK- 100
 DIANKMEDGMQTFEI----RKMEQKALRKQEVRERMLRGQLNAAFNIRK- 100
 DIANKMEDGMQTFEI----RKQEMK---KSDVRDKMLRGQLNAAFKMRK- 99
 DIANKREEGIQTAEIRK-EYMKEKKYNERTMREQVIRGQLNAYFRTRE- 106
 DIADRIEEGVQVTSEIRTELAKKDEARKMK-EVKNQMLQGQLNAHKRKL- 108
 : * * : * ; * : * * * . : * : * : * * * .

Рис. 1. Множественное выравнивание белков TnrA разных видов бацилл. Информация о сходстве остатков в каждой колонке отражена символами: * — полная идентичность аминокислот; : — консервативные замены; . — полуконсервативные замены. Жирным выделены предполагаемые ДНК-связывающие аминокислоты (*a*) и потенциальные аминокислоты, участвующие в димеризации белка TnrA (*b*). Глутамин в позиции 27 выделен курсивом [3].

как разницу единиц резонанса (ΔPE) между опытным и контрольным каналами (FC2-FC1). Анализируемые пробы объемом 75 мкл, содержащие 200 нМ TnrA, вводили со скоростью 30 мкл/мин. Поверхность чипа восстанавливали нанесением 10 мкл регенирирующего буфера (2М NaCl) при скорости 15 мкл/мин.

Биоинформатика. Последовательность гена *tnrA* расположена в GenBank под номером NC_000964. Множественное выравнивание белков-гомологов TnrA выполнено с помощью программы ClustalW [10]. Идентификацию сайтов димеризации белка TnrA проводили с помощью алгоритма BLAST (<http://www.ncbi.nlm.nih.gov/BLAST/>) [11]. При множественном выравнивании использовали последовательности белков гомологов TnrA следующих видов бацилл: *B. subtilis* (NP_389214), *B. atrophaeus* 1942 (YP_003972761), *B. amyloliquefaciens* FZB42 (YP_001420907), *B. licheniformis* ATCC 14580 (YP_078674.1), *B. vallismortis* DV1-F-3 (ZP_10510045), *B. aerophilus* KACC 16563 (ZP_10163968), *B. megaterium* DSM 319 (YP_003597162), *B. pumilus* ATCC 7061 (ZP_03053188), *B. coagulans* 36D1 (ZP_04433151), *B. selenitireducens* MLS10 (YP_003700296), *B. halodurans* C-125 (NP_242360), *B. clausii* KSM-K16 (YP_175256). Анализировали аминокислотные

последовательности с помощью сервера (<http://www.bioinformatics.org/sms2/>) [12]. Предположительная вторичная структура белка TnrA *B. subtilis* получена с использованием сервера Phyre (<http://www.sbg.bio.ic.ac.uk/phyre2/>) [13] на основе кристаллических структур других белков семейства MerR факторов транскрипции. Анализ предполагаемой третичной структуры белка TnrA43 выполнен в программе PyMOL Molecular Graphics System. Вычисления кинетических параметров взаимодействия белков TnrA с ДНК проводили в программе BIAevaluation 3.0 Software (1997).

РЕЗУЛЬТАТЫ И ОБСУЖДЕНИЕ

Идентификация сайта димеризации фактора транскрипции TnrA

В клетках *Bacillus subtilis* фактор транскрипции TnrA регулирует экспрессию около 30 генов и оперонов в условиях недостатка азота [1, 14]. Несмотря на высокую гомологию с белками семейства MerR, белок TnrA имеет совершенно отличную структуру регуляторной С-концевой области, и контроль его активности происходит путем протеолиза и белок-белкового взаимодействия [4, 15]. Тогда как у белков MerR димеризация про-

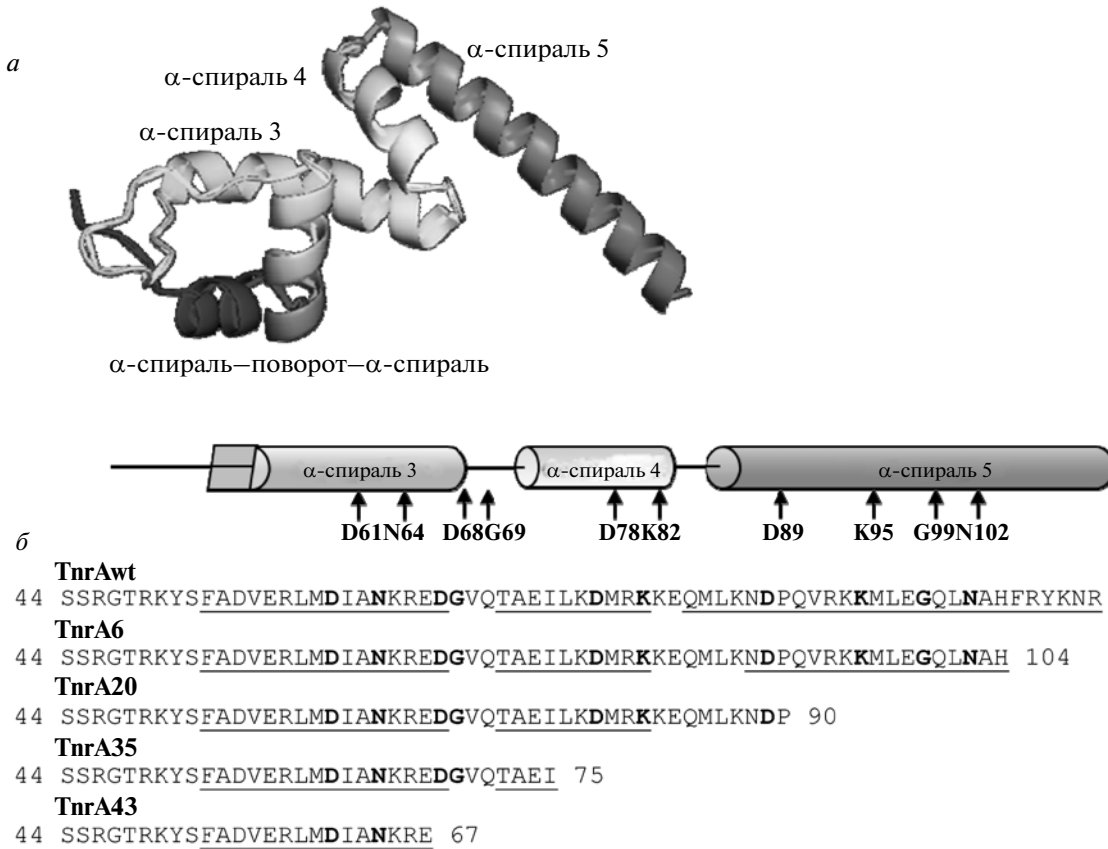


Рис. 2. Предполагаемая вторичная и третичная структура фактора транскрипции TnrA, полученная на основе аминокислотной последовательности белка (*a*) и делеции С-концевого домена фактора транскрипции TnrA на 6, 20, 35 и 43 аминокислотных остатков (*b*). Жирным выделены аминокислоты, предположительно участвующие в димеризации белка TnrA.

исходит по С-концевой α -спирали, удаление гомологичного домена фактора TnR Δ не приводит к нарушению его димеризации [3, 4]. Мы предположили, что, возможно, димеризация белка TnR Δ происходит в его центральной части, так как N-конец формирует ДНК-связывающий домен [3]. Чтобы установить сайт димеризации TnR Δ , мы сначала провели сравнительный анализ его аминокислотной последовательности с ближайшими белками-гомологами из других видов бацилл. В результате выявлены аминокислоты, потенциально участвующие в димеризации этого белка (рис. 1): D61, N64, D68, G69, D78, K82, D89, K95, G99 и N102. Идентифицированные аминокислоты образуют несколько вероятных участков взаимодействия мономеров TnR Δ . Эти сайты состоят из полярных остатков аминокислот и находятся в каждой из трех α -спиралей, а также между α -спиралями 3 и 4 (рис. 2). Наиболее вероятными точками взаимодействия могут быть пары D78K82 и D89K95, состоящие каждая из двух полярных аминокислот с противоположным зарядом, которые при димеризации белков семейства MerR оказываются друг напротив друга в противоположно направ-.

ленных молекулах мономеров [2]. Однако результаты прежних работ показали, что удаление С-концевой спирали не нарушает димеризацию [3, 4], следовательно, взаимодействие двух противоположных направленных мономеров наиболее вероятно по α -спиралям 3 и 4, возможно по остаткам D78K82, что теоретически не препятствует взаимодействию белков GlnK и глутаминсингтазы с С-концом TnrA [3, 4]. Чтобы установить сайт димеризации фактора TnrA в клетках *E. coli*, экспрессировали и далее очищали до электрофоретической гомогенности укороченные мутантные белки TnrA, у которых отсутствует часть С-концевой области (рис. 3а) [4]. Каждая из мутаций последовательно удаляла потенциальные сайты димеризации с С-конца (рис. 2б). Мутантный белок TnrA с делецией 50 аминокислот с С-конца и полным удалением всех возможных сайтов оказался крайне нестабильным в клетках *E. coli* и не мог быть очищен (не показано).

Проверку димеризации рекомбинантных белков осуществляли методом поперечных сшивок (рис. 3б). Результаты анализа продемонстрировали способность к олигомеризации всех мутант-

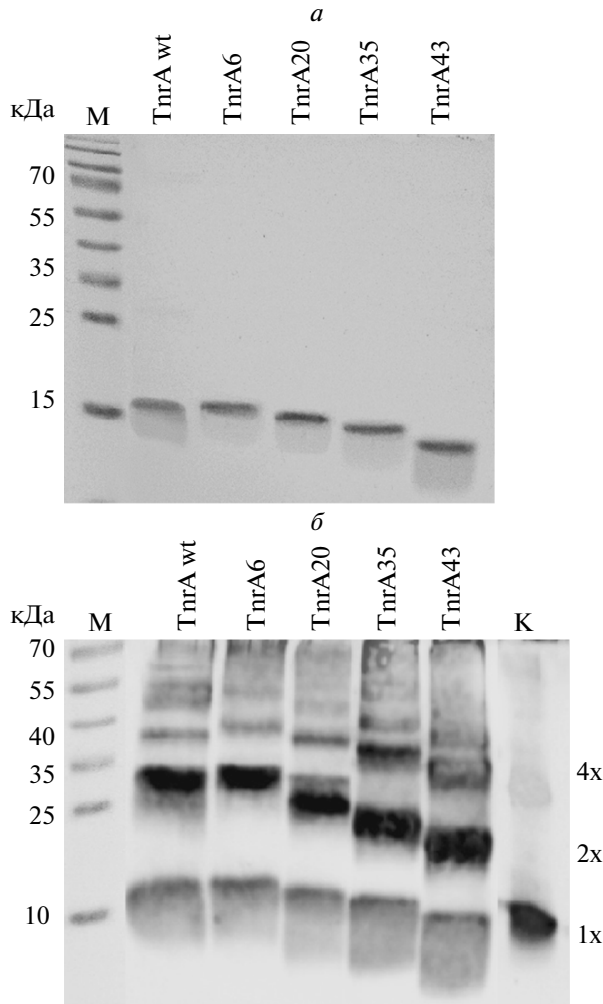


Рис. 3. Электрофорез в SDS-ПААГ очищенных белков TnrA wt-His₆, TnrA6-His₆, TnrA20-His₆, TnrA35-His₆ (а) и TnrA43-His₆ и анализ мутантных белков TnrA методом поперечных сшивок (б). К – белок TnrA wt-His₆ в отсутствии глутарового агента. 1x, 2x, 4x – белки в мономерной, димерной и тетramerной формах.

ных белков. Ранее также показано, что 27 аминокислотных остатков с С-конца белка TnrA не отвечают за димеризацию молекул [3]. Эти данные свидетельствуют о том, что вероятно 8 из 10 предполагаемых аминокислот С-конца (D68, G69, D78, K82, D89, K95, G99, N102) не являются критичными для димеризации и, скорее всего, в ней не участвуют. Таким образом, наиболее вероятно, что димеризация белка идет по α -спирали 3 (рис. 2а). Мы провели моделирование третичной структуры и возможной димеризации белка TnrA43 (рис. 4). Видно, что взаимодействие двух противоположно направленных α -спиралей происходит по остаткам аспарагиновой кислоты 61 и аспарагина 64. Подобная структура нехарактерна для белков–гомологов MerR, которые димеризуются по α -спиралям 4 или 5, образуя подвижную структуру [2].

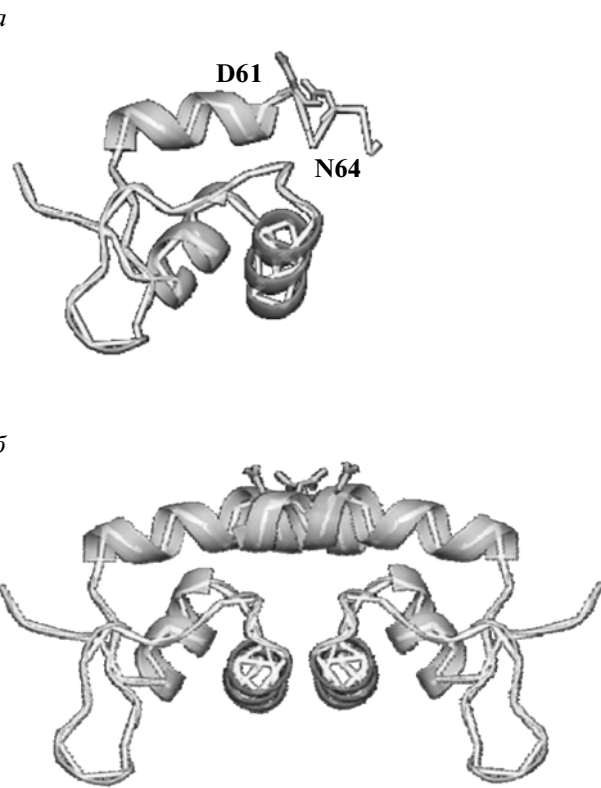


Рис. 4. Предполагаемая третичная структура мутантного белка TnrA43 (а) и модель его димеризации (б).

Несмотря на высокую гомологию, белок TnrA обладает другой четвертичной структурой. Вероятно, это связано с различиями в механизмах передачи сигнала, тогда как эффекторами для белков MerR являются ионы металлов, связывающиеся с С-концевым доменом, белок TnrA взаимодействует с белком GlnK и глутаминсинтетазой [3, 4].

С-концевой домен фактора TnrA контролирует активность ДНК-связывающего домена

В ряде работ показана необходимость С-конца белка TnrA для контроля его активности и взаимодействия с регуляторными белками [3, 4, 16]. Тем не менее, неизвестно о ДНК-связывающей активности мутантных белков и роли С-концевого домена в контроле ДНК-связывающей активности N-концевого домена [3]. Согласно нашей модели димеризации белка TnrA, удаление С-конца не должно нарушать конформацию ДНК-связывающего домена. Чтобы проверить это, мы исследовали ДНК-связывающую активность TnrA методом поверхностного плазмонного резонанса. Специфическое взаимодействие TnrA с промотором TnrA-зависимого гена определяли как разницу между взаимодействием TnrA со специфичной и неспецифичной последовательностями ДНК. В качестве специфической последователь-

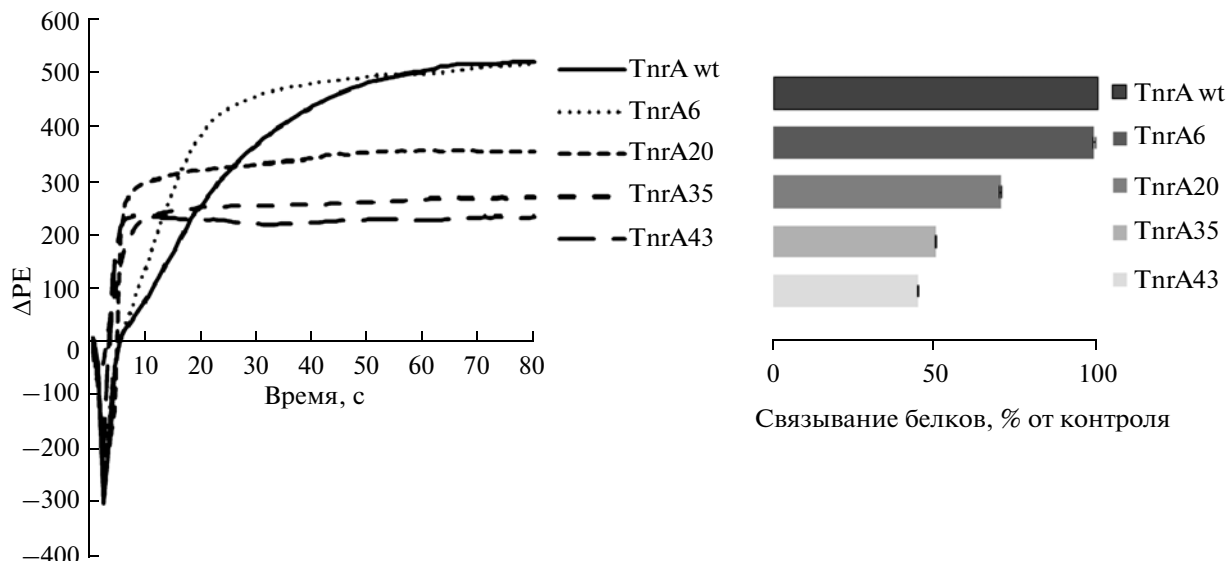


Рис. 5. Анализ взаимодействия полноценного и мутантных белков TnrA с промотором TnrA-зависимого гена *nrgA* методом поверхностного плазмонного резонанса. Эффективность связывания мутантных белков с ДНК показана в резонансных единицах, а также в % (связывание TnrA wt с ДНК принято за 100%).

ности ДНК использовали олигонуклеотиды, содержащие TnrA-узнаваемый участок промотора гена *nrgA* (TGTNAN₇TNACA), в неспецифической последовательности отсутствовал такой участок.

На поверхность сенсорного чипа наносили равномолярные концентрации белков (200 нМ) в пересчете на молекулярную массу каждого белка (димера). Все мутантные белки TnrA с делециями С-конца сохраняли способность взаимодействовать с ДНК (рис. 5), при этом, по мере удаления аминокислот с С-конца, возрастила скорость связывания, о чем свидетельствует увеличение угла наклона кривой связывания. Подобный эффект описан для белка Spo0A из *B. subtilis*: удаление регуляторного домена приводило к конститутивному связыванию белка с ДНК без фосфорилирования, которое необходимо нативному белку для приобретения сродства к ДНК [17]. Однако при удалении уже 20 аминокислот (что соответствует

удалению α-спирали 5) происходило снижение конечного уровня накопления сигнала и более чем двухкратное увеличение константы диссоциации (таблица). С удалением 43 аминокислот константа диссоциации возрастила в пять раз по сравнению с исходным белком. Это свидетельствует о том, что наряду с высокой скоростью связывания белка с ДНК происходит его быстрая диссоциация, что свидетельствует о снижении стабильности данного комплекса. Тем не менее, равновесная константа диссоциации изменилась незначительно (таблица). Вопрос о возможности инициации транскрипции мутантными белками также открыт. В работе [16] авторы наблюдали TnrA-нуль-фенотип клеток, образующих белок TnrA с удалением уже 35 аминокислот. Вероятно, несмотря на возможность связывания этого белка с ДНК и незначительного снижения его аффинности, силы взаимодействия недостаточно для адаптации ДНК к продуктивной инициации транскрипции. По-видимому, α-спираль 5 (рис. 2а) одновременно участвует как в стабилизации комплекса ТnrA-ДНК, так и определяет ее аффинность к ДНК. Ранее показано, что именно в этой области происходит взаимодействие TnrA с регуляторным белком GlnK и глутаминсинтетазой [3, 4]. В совокупности эти результаты подтверждают предположение о роли С-концевого домена, как домена передачи регуляторного сигнала и контроля ДНК-связывающей активности фактора транскрипции TnrA.

Кинетические константы k_a и k_d и вычисленные равновесные константы диссоциации K_D

Белки	Константы скорости		K_D, M
	$k_a \times 10^4, M^{-1} \times s^{-1}$	$k_d \times 10^{-3}, s^{-1}$	
TnrA wt	2.8 ± 0.61	1.4 ± 0.06	5.0 ± 0.96
TnrA6	4.2 ± 0.2	1.7 ± 0.06	4.1 ± 0.26
TnrA20	8.1 ± 2.5	2.8 ± 0.01	3.5 ± 0.6
TnrA35	13 ± 0.81	4.4 ± 0.01	3.4 ± 0.55
TnrA43	15 ± 1.5	5.0 ± 0.01	3.4 ± 0.42

Работа выполнена при поддержке Министерства образования и науки РФ в рамках Федераль-

ной целевой программы “Научные и научно-педагогические кадры инновационной России” на 2009–2013 гг. (№ 14.B37.21.0160), гранта Минобрнауки России и Германской службы академических обменов (DAAD) по программе “Михаил Ломоносов” А/10/74537 и Российского фонда фундаментальных исследований (№ 12-04-01226-а).

СПИСОК ЛИТЕРАТУРЫ

1. Wray L.V., Ferson A.E., Rohrer K., Fisher S.H. 1996. TnrA, a transcription factor required for global nitrogen regulation in *Bacillus subtilis*. *Proc. Natl. Acad. Sci. USA*. **93**, 8841–8845.
2. Hobman J.L. 2007. MerR family transcription activators: similar designs, different specificities. *Mol. Microbiol.* **63**, 1275–1278.
3. Wray L.V. Jr., Fisher S.H. 2007. Functional analysis of the carboxy-terminal region of *Bacillus subtilis* TnrA, a MerR family protein. *J. Bacteriol.* **189**, 20–27.
4. Kayumov A., Heinrich A., Fedorova K., Ilinskaya O., Forchhammer K. 2011. Interaction of the general transcription factor TnrA with the PII-like protein GlnK and glutamine synthetase in *Bacillus subtilis*. *FEBS J.* **278**, 1779–1788.
5. Changela A., Chen K., Xue Y., Holschen J., Outten C.E., O’Halloran T.V., Mondragón A. 2003. Molecular basis of metal-ion selectivity and zeptomolar sensitivity by CueR. *Science*. **301**, 1383–1387.
6. Heinrich A., Woyda K., Brauburger K., Meiss G., Detsch C., Stülke J., Forchhammer K. 2006. Interaction of the membrane-bound GlnK-AmtB complex with the master regulator of nitrogen metabolism TnrA in *Bacillus subtilis*. *J. Biol. Chem.* **281**, 34909–34917.
7. Fokina O., Herrmann C., Forchhammer K. 2011. Signal-transduction protein P(II) from *Synechococcus elongatus* PCC 7942 senses low adenylate energy charge in vitro. *J. Biochem.* **440**, 147–156.
8. Laemmli U.K. 1970. Cleavage of structural proteins during the assembly of the head of bacteriophage T4. *Nature*. **227**, 680–685.
9. Hart D.J., Speight R.E., Cooper M.A., Sutherland J.D., Blackburn J.M. 1999. The salt dependence of DNA recognition by NF-kappaB p50: a detailed kinetic analysis of the effects on affinity and specificity. *Nucl. Acids Res.* **27**, 1063–1069.
10. Thompson J.D., Higgins D.G., Gibson T.J. 1994. CLUSTAL W: improving the sensitivity of progressive multiple sequence alignment through sequence weighting, position-specific gap penalties and weight matrix choice. *Nucl. Acids Res.* **22**, 4673–4680.
11. Altshul J.H., Marshall G., Morgan L.A., Baumgartner J.C. 1997. Comparison of dentinal crack incidence and of post removal time resulting from post removal by ultrasonic or mechanical force. *J. Endod.* **23**, 683–686.
12. Stothard P. 2000. The sequence manipulation suite: JavaScript programs for analyzing and formatting protein and DNA sequences. *Biotechniques*. **28**, 1102–1104.
13. Kelley L.A., Sternberg M.J. 2009. Protein structure prediction on the Web: a case study using the Phyre server. *Nat. Protoc.* **4**, 363–371.
14. Gunka K., Commichau F.M. 2012. Control of glutamate homeostasis in *Bacillus subtilis*: a complex interplay between ammonium assimilation, glutamate biosynthesis and degradation. *Mol. Microbiol.* **85**, 213–224.
15. Каюмов, А.Р., Федорова К.П., Ильинская О.Н., Шарипова М.Р. 2010. Содержание и локализация регуляторных белков TnrA и GlnK в клетках *Bacillus subtilis* в условиях азотного голодаания. *Молекулярная биология*. **44**, 743–745.
16. Shin B.S., Choi S.K., Smith I., Park S.H. 2000. Analysis of *tnrA* alleles which result in a glucose-resistant sporulation phenotype in *Bacillus subtilis*. *J. Bacteriol.* **182**, 5009–5012.
17. Fujita M., Sadaie Y. 1998. Feedback loops involving Spo0A and AbrB in *in vitro* transcription of the genes involved in the initiation of sporulation in *Bacillus subtilis*. *J. Biochem.* **124**, 98–104.